



# Evolução Estelar II

## Ast-202-3

### Aula 3

# Modelagem estelar e polítropos

Carlos Alexandre Wuensche  
INPE Divisão de Astrofísica  
[ca.wuensche@inpe.br](mailto:ca.wuensche@inpe.br)



# Leitura recomendada

- ☑ R. Kippenhahn, A. Weigert, A. Weiss. *Stellar Structure and Evolution* (2<sup>nd</sup> ed.). Springer (2012)
  - ✓ Caps. 19 e 22
- ☑ C. Hansen; S. Kawaler. *Stellar interiors: Physical Principles, Structure and Evolution*. Springer (1994)
  - ✓ Cap. 2 – a referência ao programa ZAMS está ali.



# Princípios básicos

- ☑ Para construir um modelo estelar é necessário conhecer:
  - ✓ Massa total, composição química, densidade

Variáveis primárias

- ✓ Temperatura, pressão, densidade, luminosidade

Variáveis secundárias

- ✓ As relações cruzadas abaixo e suas derivadas são usadas na elaboração dos modelos numéricos

$$P = P(\rho, T, X)$$

$$E = E(\rho, T, X)$$

$$\kappa = \kappa(\rho, T, X)$$

$$\varepsilon = \varepsilon(\rho, T, X)$$

- ✓  $X$  é a composição química e, partir das grandezas  $P$ ,  $E$ ,  $\kappa$  e  $\rho$ , integramos as equações para gerar diferentes modelos.

- ☑ As equações da estrutura estelar podem ser escritas nas formas:

$$\frac{dP}{dr} = -\frac{GM_r}{r^2} \rho$$
$$\frac{dM_r}{dr} = 4\pi r^2 \rho$$
$$\frac{dL_r}{dr} = 4\pi r^2 \rho \epsilon$$

$$\frac{dP}{dM_r} = -\frac{GM_r}{4\pi r^4}$$
$$\frac{dr}{dM_r} = 1/4\pi r^2 \rho$$
$$\frac{dL_r}{dM_r} = \epsilon$$

- ✓ Mecanismo de transferência de energia

$$\nabla_{rad} = \frac{3}{16\pi ac} \frac{P}{T^4} \frac{L}{GM(r)} \quad 1$$

- ✓ Transferência radiativa

$$\nabla = \nabla_{rad}, \text{ se } \nabla_{rad} \leq \nabla_{ad} \quad 2$$

- ✓ Convecção adiabática

$$\nabla < \nabla_{rad}, \text{ se } \nabla_{rad} > \nabla_{ad} \quad 3$$

- ✓ Sendo que

$$\nabla = \frac{d(\ln T)}{d(\ln P)} = -\frac{r^2 P}{GM(r)\rho} \frac{1}{T} \frac{dT}{dr} \quad 4$$

Critério de Ledoux

$$\nabla_{rad} < \nabla_{ad} + \frac{\varphi}{\delta} \nabla_{\mu}$$

- ☑ Condições de contorno
  - ✓ Centro:  $M_r = 0, r = L_r = 0$
  - ✓ Superfície:  $M_r = M_{total}, \rho = P_r = 0$
  
- ☑ Em geral, embora diversos modelos numéricos possam ser calculados, somente um deles é considerado uma solução real.



# Equações de estado politrópicas



- ☑ Solução clássica encontrada no trabalho de Chandrasekhar (1939).
- ☑ Definição formal: Modelos pseudo-estelares onde se supõe que valham relações semelhantes à eq. de estado  $P = P(\rho^n)$
- ☑ Não são feitas suposições sobre transferência de energia ou eq. térmico.

- ☑ Ideia: remover a parte “energética” das equações, via eq. de estado  $\rho = \rho(P)$ .
- ☑ Nesse caso, tratamos as estrelas através das eqs. de equilíbrio hidrostático e de Poisson:

$$\frac{dP}{dr} = -\frac{d\Phi}{dr} \rho \quad \boxed{5.1}$$

$$\frac{1}{r^2} \frac{d}{dr} \left( r^2 \frac{d\Phi}{dr} \right) = 4\pi G \rho \quad \boxed{5.2}$$

- ☑ Podemos derivar uma equação para  $P$  e  $\rho$ , integrando a eq. de transferência radiativa.
- ☑ Algumas manipulações algébricas levam à derivação da chamada relação politrópica:  $P = K \rho^\gamma = K \rho^{1+1/n}$   $\boxed{6}$

☑ Podemos explorar casos conhecidos com a eq. politrópica:

✓ Estrela totalmente convectiva:

➤ ignoramos transporte radiativo, e temos  $\nabla_{ad} = \frac{2}{5}$ ,

logo, ao longo do raio da estrela,  $T \sim P^{2/5}$  e,  
para uma eq. de estado com  $\gamma$  constante:

$$T \sim P/\rho, \text{ logo } P \sim \rho^{5/3}$$

✓ Esfera gasosa homogênea

➤  $\rho = K_1 P^{1/\gamma}$ , para  $\gamma \rightarrow \infty$ ,  $\rho = K_1$  (constante)

- ☑ Vantagens de usar relações politrópicas:
  - ✓ A eq. de estado assume uma forma simples, do tipo  $P = K \rho^\gamma$  7
  - ✓ A eq. de estado contém, indiretamente, a temperatura (no caso de um gás ideal) mas a relação adicional entre T e P (cond. adiabática) permite criar uma relação politrópica, com K sendo o parâmetro livre.
  
- ☑ Problemas...
  - ✓ Automaticamente a temperatura é estratificada, na forma de  $T = T(P)$ .

- Partindo da condição de eq. hidrostático (5) e usando a relação politrópica, encontramos EDO que descreve adequadamente as condições de temperatura e pressão no interior estelar

$$\frac{d\Phi}{dr} = -\gamma K \rho^{\gamma-2} \frac{d\rho}{dr} \quad [8] \quad \longrightarrow \quad \rho = \left( \frac{-\Phi}{(n+1)K} \right)^n \quad [9]$$

- Substituindo (9) no lado direito da eq. de Poisson (5) obtemos uma EDO para  $\Phi$ :

$$\frac{d^2\Phi}{dr^2} + \frac{2}{r} \frac{d\Phi}{dr} = 4\pi G \left( \frac{-\Phi}{(n+1)K} \right)^n \quad [10]$$

- que, com algumas parametrizações adequadas é transformada na eq. de Lane-Emden.

$$\frac{1}{\xi^2} \frac{d}{d\xi} \left[ \xi^2 \frac{d\theta}{d\xi} \right] = -\theta^n \quad [11]$$

- ✓ Com as seguintes substituições:

$$\xi = Ar, \quad A^2 = \frac{4\pi G}{(n+1)^n K^n} (-\Phi_c)^{(n-1)} = \frac{4\pi G}{(n+1)K} \quad \boxed{12}$$

$$\theta = \frac{\Phi}{\Phi_c} = \left(\frac{\rho}{\rho_c}\right)^{1/n} \quad \boxed{13}$$

- ✓ Soluções de interesse devem ser finitas em  $\xi=0$ , e ter as condições de contorno  $\xi(0)=1$  e  $\frac{d\theta}{d\xi}=0$ . Na superfície,  $\theta(\xi) \rightarrow 0$ .
- ✓ Modelos correspondentes às soluções da equação de Lane-Emden para um certo valor de  $n$  são conhecidos como polítrópos de índice  $n$ . As soluções são as chamadas soluções de Lane-Emden.
- ✓ Soluções analíticas existem somente para  $n=0, 1, \text{ e } 5$ .

- ✓ É possível usar os modelos politrópicos para descrever uma estrela com o núcleo composto de matéria degenerada relativística ( $n=3$ ) e matéria ordinária não relativística ( $n=3/2$ )
- ✓ Chandrasekhar usou esses modelos para descrever estrelas não convencionais e fazer o primeiro modelo de uma anã branca. Um polítropo com  $n=3$  teria a forma:

$$M = 4\pi \left(-\frac{\theta'}{\xi}\right) \xi^3 \left(\frac{K}{\pi G}\right)^{3/2}$$

14

- ✓ E, no caso de uma anã branca (com  $e^-$  degenerados...)

$$M_{Ch} = \frac{5,836}{\mu_e^2} M_{\odot} = 1,459 M_{\odot}$$

14.1

- ✓ Os casos discutidos anteriores partem da eq. de equilíbrio hidrostático e de Poisson e consideram um sistema em equilíbrio. Entretanto, é possível também modelar polítrópos em colapso e aplicar os conceitos ao estudo de objetos compactos!
- ✓ No caso de considerarmos o termo de inércia na eq. (5.1), temos:

$$\frac{\partial v_r}{\partial t} + v_r \frac{\partial v_r}{\partial r} + \frac{\partial P}{\partial r} + \frac{\partial \Phi}{\partial r} = 0$$

15

- ✓ Consideramos um polítrópo relativístico, de matéria degenerada, com  $n=3$  ou  $\gamma = \gamma_{ad} = \frac{4}{3} \dots$



☑ Realizamos as substituições equivalentes a (12) e (13), com  $a(t)$  equivalente a  $1/A$  na eq. (12). Nesse caso,  $\xi$  é independente do tempo, e a dependência fica contida em  $a(t)$ .

☑ Introduzimos também um potencial  $\psi$  para a velocidade, tal que  $v_r = \frac{\partial \Psi}{\partial r}$ , com a condição  $\Psi = 0$  quando  $\xi = 0$ :

$$r = a(t)\xi, \quad v_r = \dot{a}\xi \quad \Psi = \frac{1}{2}a\dot{a}z^2 \quad \boxed{16}$$

$$av_r = a\dot{a}\xi = a \frac{\partial \Psi}{\partial r} = \frac{\partial \Psi}{\partial \xi} \quad \boxed{17}$$

☑ E a derivada total de  $\Psi$  no sistema de referência comóvel (do polítropo) é:

$$\frac{d\Psi}{dt} = \frac{\partial \Psi}{\partial t} + v_r \frac{\partial \Psi}{\partial r} = \frac{\partial \Psi}{\partial t} + (\dot{a}z)^2 \quad \boxed{18}$$

- ✓ Com as novas variáveis, reescrevemos a eq. de Poisson e a eq. de continuidade da seguinte forma:

$$\frac{1}{\xi^2} \frac{\partial}{\partial \xi} \left( \xi^2 \frac{\partial \Psi}{\partial \xi} \right) = 4\pi G \rho a^2 \quad 19$$

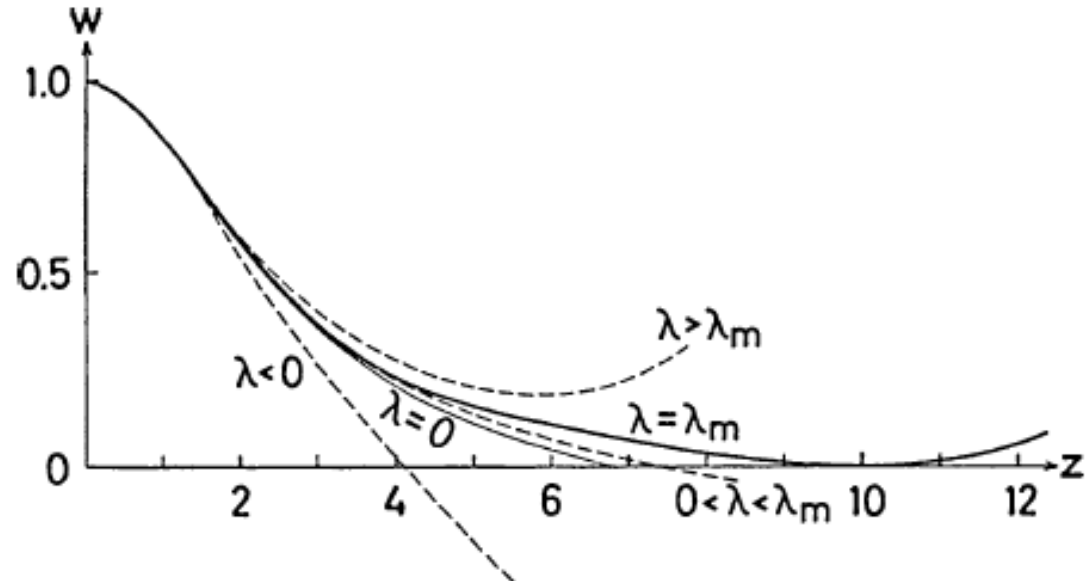
$$\frac{1}{\rho} \frac{d\rho}{dt} + \frac{1}{a^2 \xi^2} \frac{\partial}{\partial \xi} \left( \xi^2 \frac{\partial \Psi}{\partial \xi} \right) \equiv \frac{1}{\rho} \frac{d\rho}{dt} + 3 \frac{\dot{a}}{a} = 0 \quad 20$$

- ✓ Após alguma álgebra, chegamos às soluções que envolvem  $a(t)$  e  $\xi$ :

"setor" temporal  $\longrightarrow$  
$$\frac{3}{4} \frac{(\pi G)^{1/2}}{K^{3/2}} a^2 \ddot{a} = -\lambda \quad 21$$

$$6 \frac{g(\xi) + w(\xi)}{\xi^2} = \lambda \quad \longleftarrow \text{"setor" espacial} \quad 22$$

- ☑  $\lambda$  é uma constante que permite soluções diferentes:
  - ✓  $\lambda = 0$  - eq. de Lane-Emden clássica (eq. hidrostático)
  - ✓  $\lambda \neq 0$  - situações fora do eq. hidrostático; o valor de  $\lambda$  mede o desvio
  - ✓ Soluções finitas para  $0 < \lambda \leq \lambda_m$ , e para valores pequenos de  $\lambda$  (tipicamente  $\lambda_m = 0,0065$ ).
  - ✓ Para  $\lambda > \lambda_m$ ,  $\varrho(r)$  não tende a zero para valores finitos do raio...



- ☑ Interpretação do “colapso politrópico” ( $n=3$ ):
  - ✓ Situação de equilíbrio independente do raio
  - ✓ Se  $P$  decresce ligeiramente (por um aumento de  $K$ , ver sol. na pág. 229 do KKW), a esfera de gás começa a contrair – processo descrito por (21) e (22)
  - ✓  $\lambda$  é uma medida do desvio do E.H. causado pela redução de  $K$

# Soluções numéricas

## ☑ Métodos utilizados

- ✓ Shooting (integrador Runge-Kutta): integração em camadas, da origem para a superfície.
- ✓ Método de ajuste: integra simultaneamente de dentro para fora e vice-versa, e testa a convergência de ambas as soluções em algum ponto interno (em geral =  $R/2$ ).
- ✓ Método de Henvey (integrador Newton-Rapson).



# O modelo de Eddington

- ✓ Um exemplo simples do uso de polítropos para fazer um “pseudo-modelo” estelar é o modelo de Eddington
- ✓ Ele incorpora, de maneira aproximada, a equação de transferência radiativa e a equação de energia.
- ✓ Partimos de uma situação não-convectiva, em que:

$$\nabla = \frac{d \ln T}{d \ln P} = \frac{3}{16\pi a c} \frac{P \kappa}{T^4} \frac{L_r}{GM_r}$$

24

- ✓ Desenvolvendo essa equação para o gradiente estelar, vamos chegar na relação:

$$1 - \beta(r) = \frac{L}{4\pi c GM} \langle \kappa \eta(r) \rangle$$

25

em que  $\kappa$  é a opacidade do interior estelar e  $\eta$  é a relação entre as taxas de geração de energia  $L_r/M_r$  para diferentes raios.

- ✓ Utilizamos como opacidade:

$$\kappa = \kappa_e + \kappa_0 \rho T^{-3,5}$$

26

Opacidade  
eletrônica

- ☑ Opacidade  $\kappa$  cresce para o exterior se a densidade não decresce suficientemente rápido!
- ☑  $\eta(r)$  é proporcional à taxa de geração de energia  $e$ , na SP, ela tende rapidamente a 1, por causa do expoente positivo de  $\varepsilon$ .
- ☑ Solução simples se consideramos uma estrutura de camadas em que  $\kappa l/m$  é constante ao longo do raio da estrela.
- ☑ Nesse caso,  $\beta \approx \text{constante!}$



- Trabalhando com as expressões para a pressão de um gás perfeito e pressão de radiação,

$$P = \frac{\kappa}{\mu m_H} \rho T + \frac{a}{3} T^3 = \frac{\kappa}{\mu m_H \beta} \rho T, \quad \beta = \frac{P_{gas}}{P} \quad 27$$

- vamos chegar numa relação para equação de estado politrópica, da forma:

$$P = \left[ \frac{3}{a} \left( \frac{\kappa}{\mu m_H} \right)^4 \frac{1 - \beta}{\beta^4} \right]^{1/3} \rho(r)^{4/3} \quad 28$$

- Em que definimos a “constante politrópica  $K$ ” como:

$$K = \left[ \frac{3}{a} \left( \frac{\kappa}{\mu m_H} \right)^4 \frac{1 - \beta}{\beta^4} \right]^{1/3} \quad 29$$

- ☑ A pressão de radiação, reescrita em termos de  $\beta$ , fica:

$$P_{rad} = \frac{1 - \beta}{\beta} P_{gas} = \frac{1 - \beta}{\beta} \left( \frac{\kappa}{\mu m_H} \right) \rho T^4 = \frac{1}{3} a T^4 \quad \boxed{30}$$

- ☑ Uma expressão útil para a temperatura pode ser derivada das equações (27) e (28):

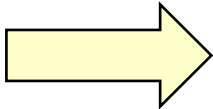
$$T(r) = \left[ \frac{3}{a} \left( \frac{1 - \beta}{\beta} \right) \left( \frac{\kappa}{\mu m_H} \right) \right]^{1/3} \rho(r)^{1/3} \quad \boxed{31}$$

- ☑ Podemos também estimar a massa para o modelo de Eddington sabendo que, para um polítropo com  $n=3$ , a massa total só depende do valor de  $K$ :

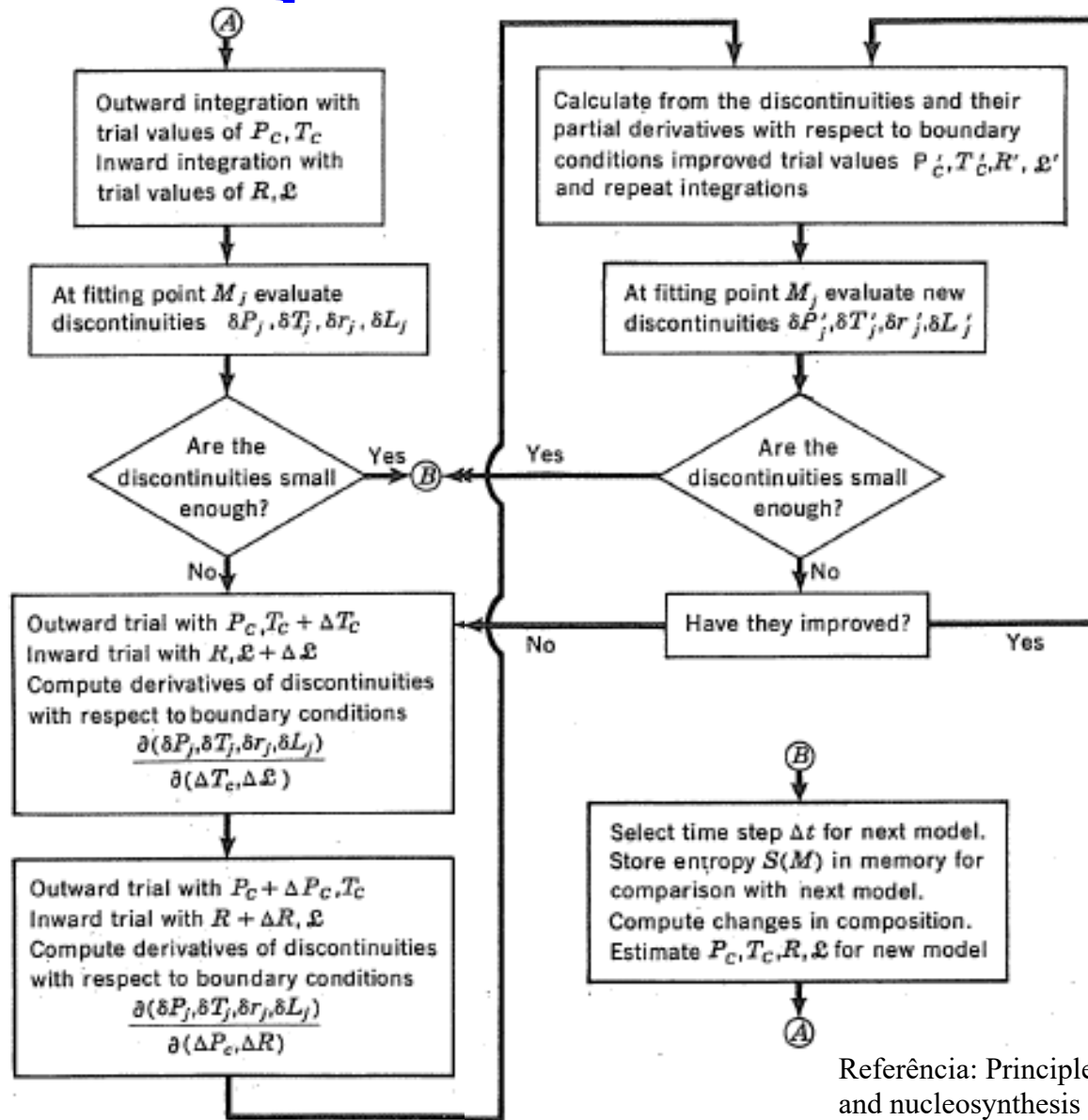
$$M = \left( \frac{K}{0,3639G} \right)^{1/2} \rightarrow \frac{M}{M_{\odot}} = \frac{18.1}{\mu^2} \frac{(1 - \beta)^{1/2}}{\beta^2} \quad \boxed{32}$$

- ☑ De acordo com (32), a pressão do gás predomina quando a massa é muito pequena ( $\beta \rightarrow 1$ )
- ☑ Quando a massa é muito grande, a pressão de radiação domina ( $\beta \rightarrow 0$ )
- ☑ A contribuição das duas pressões é igual quando  $\beta \rightarrow 1/2$ , ou seja,  $M/M_{\odot} = 51/\mu^2$
- ☑ Para  $M/M_{\odot} = 1$  e  $\mu \sim 0.62$  (valor solar),  $\beta \approx 0,9995$ , e podemos desprezar a pressão de radiação.
- ☑ Falhas no modelo:
  - ✓ Ele não fornece valores absolutos para as grandezas secundárias, uma vez que o raio e a massa são parametrizados.
  - ✓ Não se pode resolver o problema do modelo estelar sem atacar as equações de transporte de energia e calor.
  - ✓ Nesse sentido, o modelo é incompleto e só admite uma solução adequada se especificamos  $M$  e  $R$ .

# A abordagem para modelos realistas!

- ☑ Modelos realistas  estrelas reais!
- ☑ Atacamos duas regiões:
  - ✓ Carvão central, mais denso.
  - ✓ Envelope rarefeito (convectivo ou radiativo).

# Soluções numéricas



Referência: Principles of Stellar Evolution and nucleosynthesis (D.D. Clayton)



# Expansão central

- ☑ Solução de singularidades nas equações da estrutura estelar quando  $R \longrightarrow 0$ ?
- ☑ É necessário que as soluções sejam regulares na origem.
- ☑ Expansão de  $r$  em séries, em torno do ponto  $r=0$
- ☑ Transferência de energia: convecção e/ou radiação

# Envelope radiativo

- ☑ Envelope?
  - ✓ Região tênue que envolve o núcleo degenerado das supergigantes vermelhas...
  - ✓ Camada finíssima não degenerada que envolve o núcleo totalmente degenerado de uma anã branca
- ☑ Para essa abordagem, envelope é a porção da estrela que começa na fotosfera, com massa desprezível, em eq. hidrostático e que não gera energia por reações nucleares ou contração gravitacional
  - ✓ Definição da fotosfera? Superfície estelar?
  - ✓ Região de pressão zero?

- ☑ A discussão do limite físico do envelope radiativo leva à luminosidade limite que mantém a estrela em equilíbrio: a luminosidade de Eddington.

$$L_{Edd} = \frac{4\pi cGM}{\kappa}$$

33

- ☑ Suposições sobre a estrutura em equilíbrio hidrostático e a opacidade:
- ☑ Valores típicos para o envelope radiativo em estrelas do tipo solar
  - ✓  $\kappa = 0,34 \text{ cm}^2/\text{g}$
  - ✓  $X = 0,7$
  - ✓  $T_{ef} = 5780 \text{ K}$
  - ✓  $\rho_{press} = 10^{-6} - 10^{-7} \text{ g/cm}^3$





# Estrelas totalmente convectivas

- ☑ Opacidade superficial dominada por  $H^-$  (hidrido)
- ☑ Equação politrópica  $P = K T^{5/2}$
- ☑ Esse quadro representa uma fotosfera de onde escapa a radiação visível, seguida de uma tênue camada radiativa e, em seguida, a zona convectiva.
- ☑ Essa estrutura representa bastante bem as camadas externas do Sol.

- ✓ A relação de temperatura derivada da equação politrópica é dada por

$$T_{eff} = 2600\mu^{13/51} \left[ \frac{M}{M_{\odot}} \right]^{7/51} \left[ \frac{L}{L_{\odot}} \right]^{1/102} K$$

34

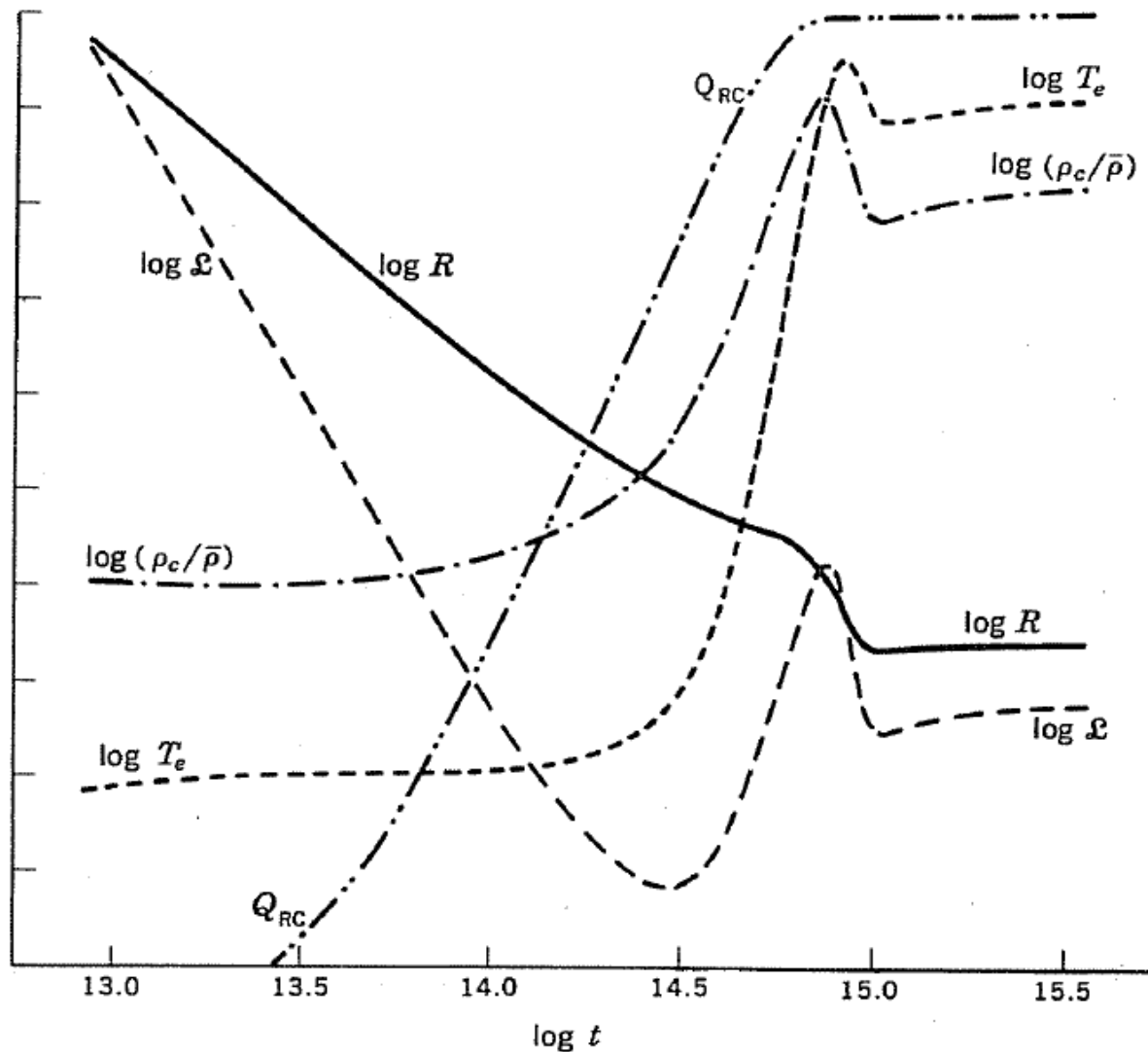
- ✓ Os expoentes estranhos refletem a dificuldade e a imprecisão dos cálculos para esses casos.

- ☑ Essa relação define o locus de temperatura constante para diversas luminosidades (para uma dada massa).
- ☑ A temperatura efetiva de estrelas completamente convectivas em equilíbrio hidrostático são essencialmente independentes do mecanismo inicial de geração de energia.



# Resultados de modelos

- ☑ Leitura (recomendadíssima): “Principles of Stellar Evolution and Nucleosynthesis” (D. D. Clayton), caps. 2 (Eq. de Lane-Emden) e 6 (Modelagem estelar)

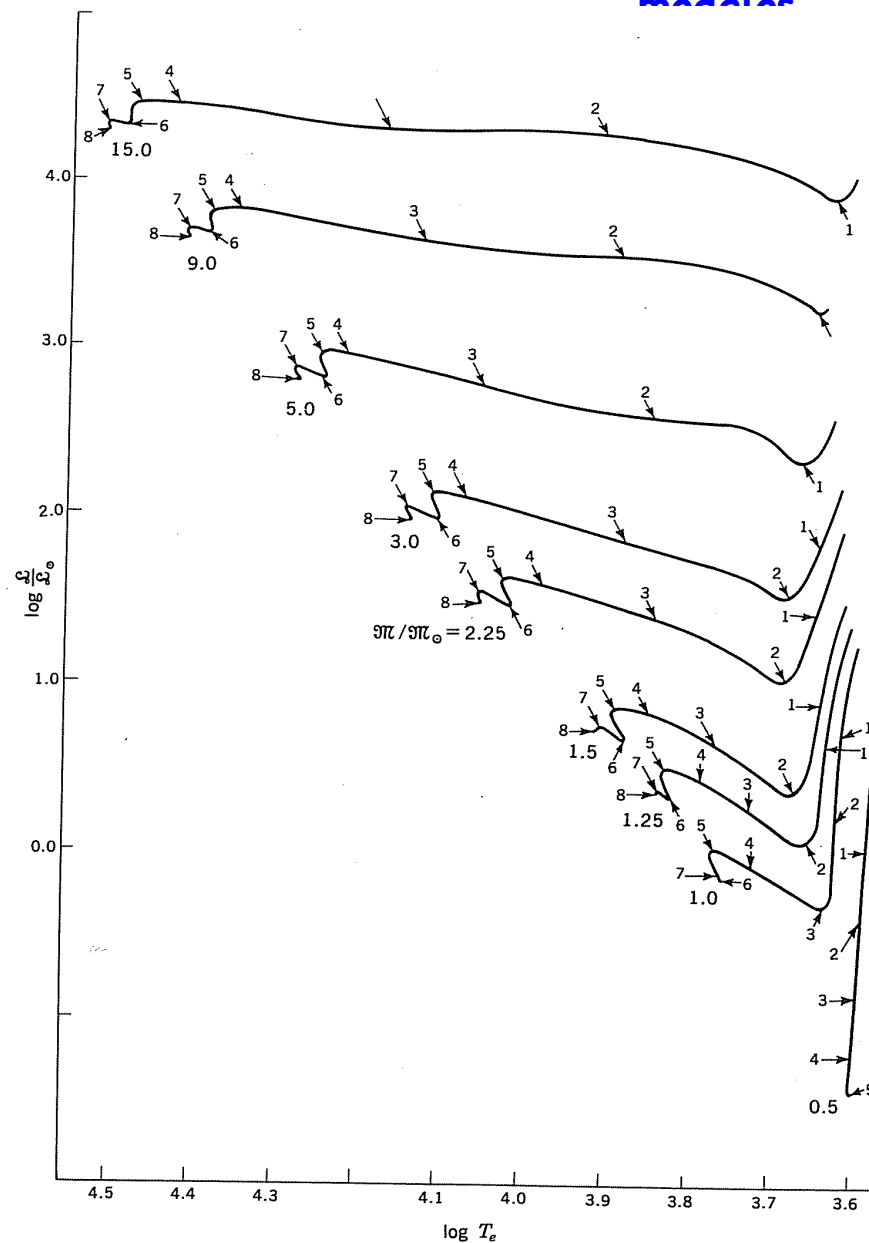


✓ Variação em função do tempo das grandezas secundárias durante a contração de uma estrela de uma massa solar para a sequência principal.

✓ Intervalos:

- ✓  $3,58 < \log T < 3,78$
- ✓  $-0,4 < \log (L/L_{sol}) < 0,6$
- ✓  $-0,4 < \log (R/R_{sol}) < 0,6$
- ✓  $0 < \log(\rho_c/\rho) < 2,0$
- ✓  $0 < Q_{rc} < 1$

- ✓ Trajetórias da contração pré-SP para modelos com massas 0,5; 1; 1,25; 1,5; 2,25; 3; 5; 9 e 15  $M_{\text{sol}}$ .
- ✓ Os tempos necessários para as estrelas atingirem os pontos numerados ao longo de suas trajetórias encontram-se na tabela a seguir.



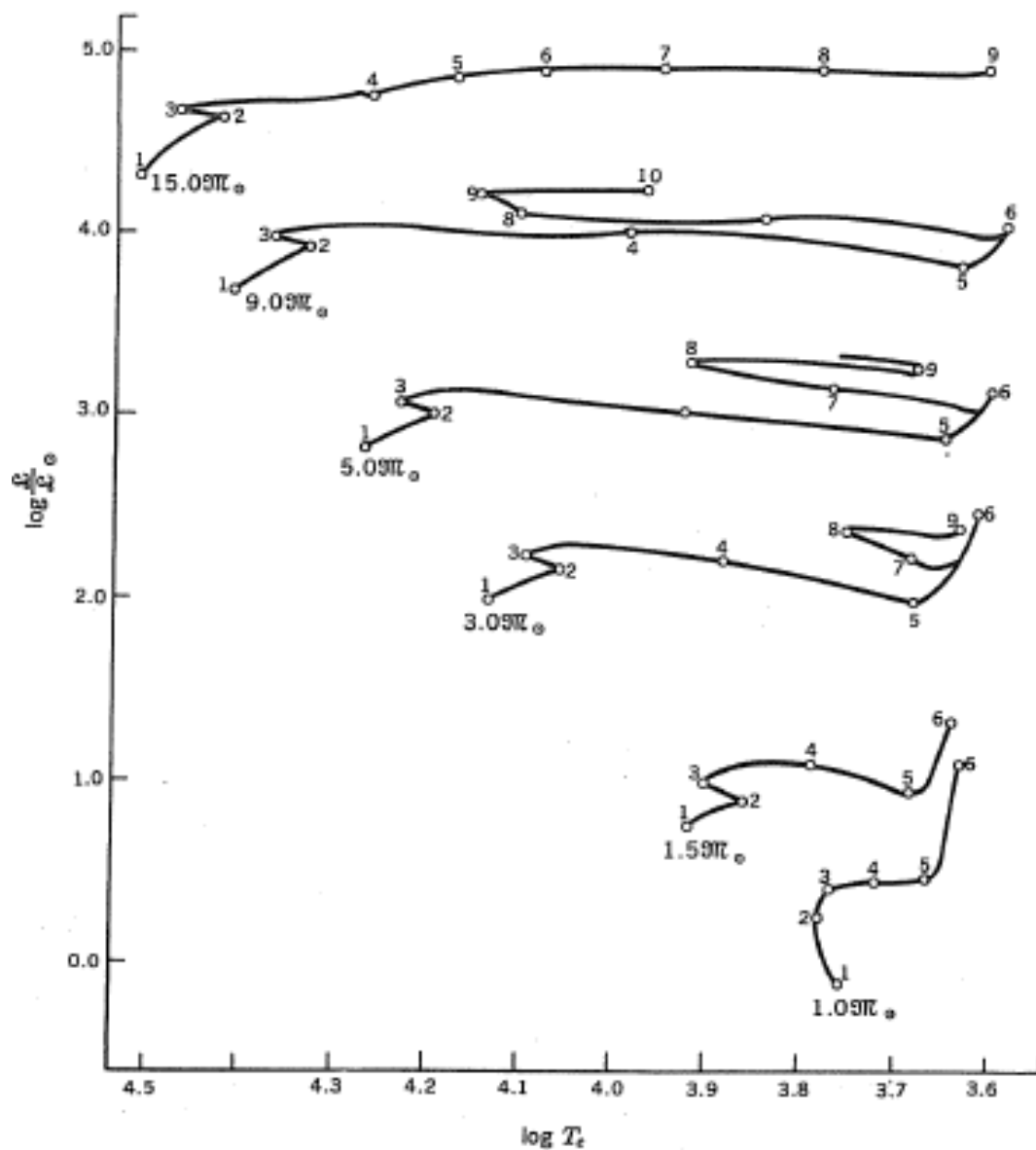
# Tempos evolutivos (anos)

Table 6-1 Evolutionary lifetimes, years†

Point	$M/M_{\odot}$								
	15.0	9.0	5.0	3.0	2.25	1.5	1.25	1.0	0.5
1	$6.740 \times 10^2$	$1.443 \times 10^3$	$2.936 \times 10^4$	$3.420 \times 10^4$	$7.862 \times 10^4$	$2.347 \times 10^5$	$4.508 \times 10^5$	$1.189 \times 10^6$	$3.195 \times 10^6$
2	$3.766 \times 10^3$	$1.473 \times 10^4$	$1.069 \times 10^5$	$2.078 \times 10^5$	$5.940 \times 10^5$	$2.363 \times 10^6$	$3.957 \times 10^6$	$1.058 \times 10^7$	$1.786 \times 10^7$
3	$9.350 \times 10^3$	$3.645 \times 10^4$	$2.001 \times 10^5$	$7.633 \times 10^5$	$1.883 \times 10^6$	$5.801 \times 10^6$	$8.800 \times 10^6$	$8.910 \times 10^6$	$8.711 \times 10^6$
4	$2.203 \times 10^4$	$6.987 \times 10^4$	$2.860 \times 10^5$	$1.135 \times 10^6$	$2.505 \times 10^6$	$7.584 \times 10^6$	$1.155 \times 10^7$	$1.821 \times 10^7$	$3.092 \times 10^7$
5	$2.657 \times 10^4$	$7.922 \times 10^4$	$3.137 \times 10^5$	$1.250 \times 10^6$	$2.818 \times 10^6$	$8.620 \times 10^6$	$1.404 \times 10^7$	$2.529 \times 10^7$	$1.550 \times 10^8$
6	$3.984 \times 10^4$	$1.019 \times 10^5$	$3.880 \times 10^5$	$1.465 \times 10^6$	$3.319 \times 10^6$	$1.043 \times 10^7$	$1.755 \times 10^7$	$3.418 \times 10^7$	
7	$4.585 \times 10^4$	$1.195 \times 10^5$	$4.559 \times 10^5$	$1.741 \times 10^6$	$3.993 \times 10^6$	$1.339 \times 10^7$	$2.796 \times 10^7$	$5.016 \times 10^7$	
8	$6.170 \times 10^4$	$1.505 \times 10^5$	$5.759 \times 10^5$	$2.514 \times 10^6$	$5.855 \times 10^6$	$1.821 \times 10^7$	$2.954 \times 10^7$		

† I. Iben, Jr., *Astrophys. J.*, 141:993 (1965). By permission of The University of Chicago Press. Copyright 1965 by The University of Chicago.

- ✓ Estrelas de pop I, com massas 1; 1,5; 3; 5; 9 e 15  $M_{\text{sol}}$ . O ponto de partida é a SPIZ
- ✓ A idade das estrelas nos pontos numerados está na tabela a seguir.





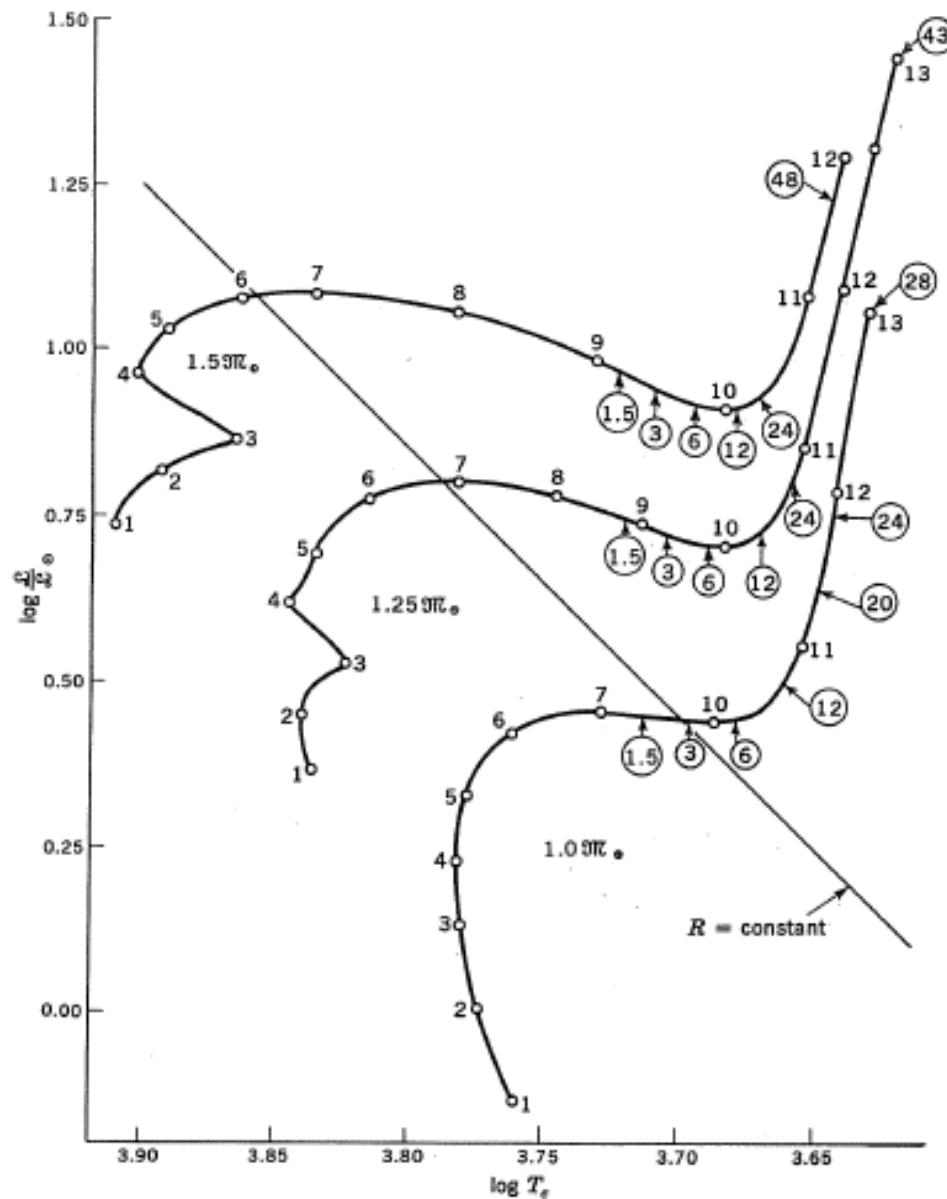
Tempos evolutivos (anos)

Table 6-8 Evolutionary lifetimes, years†

Point	$M/M_{\odot}$					
	15.0	9.0	5.0	3.0	1.5	1.0
1	$6.160 \times 10^4$	$1.511 \times 10^5$	$5.760 \times 10^5$	$2.510 \times 10^6$	$1.821 \times 10^7$	$5.016 \times 10^7$
2	$1.023 \times 10^7$	$2.129 \times 10^7$	$6.549 \times 10^7$	$2.273 \times 10^8$	$1.567 \times 10^9$	$8.060 \times 10^9$
3	$1.048 \times 10^7$	$2.190 \times 10^7$	$6.823 \times 10^7$	$2.394 \times 10^8$	$1.652 \times 10^9$	$9.705 \times 10^9$
4	$1.050 \times 10^7$	$2.208 \times 10^7$	$7.019 \times 10^7$	$2.478 \times 10^8$	$2.036 \times 10^9$	$1.0236 \times 10^{10}$
5	$1.149 \times 10^7$	$2.213 \times 10^7$	$7.035 \times 10^7$	$2.488 \times 10^8$	$2.105 \times 10^9$	$1.0446 \times 10^{10}$
6	$1.196 \times 10^7$	$2.214 \times 10^7$	$7.084 \times 10^7$	$2.531 \times 10^8$	$2.263 \times 10^9$	$1.0875 \times 10^{10}$
7	$1.210 \times 10^7$	$2.273 \times 10^7$	$7.844 \times 10^7$	$2.887 \times 10^8$		
8	$1.213 \times 10^7$	$2.315 \times 10^7$	$8.524 \times 10^7$	$3.095 \times 10^8$		
9	$1.214 \times 10^7$	$2.574 \times 10^7$	$8.782 \times 10^7$	$3.262 \times 10^8$		
10		$2.623 \times 10^7$				

† I. Iben, Jr., *Astrophys. J.*, 140:1631 (1964). By permission of The University of Chicago Press. Copyright 1964 by The University of Chicago.

- ✓ Trajetórias evolutivas de estrelas de baixa massa (pop I) com massas 1; 1,25 e 1,5  $M_{\text{sol}}$ .
- ✓ As idades nos pontos numerados encontram-se na tabela a seguir.
- ✓ Os círculos numerados representam os fatores de depleção da abundância superficial de  $\text{Li}^7$  causada pelo aprofundamento da camada convectiva externa.



## Tempos evolutivos ( $10^9$ anos)

**Table 6.9 Evolutionary lifetimes ( $10^9$  years)†**

<i>Point</i>	$1.0M_{\odot}$	$1.25M_{\odot}$	$1.50M_{\odot}$
1	0.05060	0.02954	0.01821
2	3.8209	1.4220	1.0277
3	6.7100	2.8320	1.5710
4	8.1719	3.0144	1.6520
5	9.2012	3.5524	1.8261
6	9.9030	3.9213	1.9666
7	10.195	4.0597	2.0010
8		4.1204	2.0397
9		4.1593	2.0676
10	10.352	4.2060	2.1059
11	10.565	4.3427	2.1991
12	10.750	4.4505	2.2628
13	10.875	4.5349	

† L. Iben, Jr., *Astrophys. J.*, **147**:624 (1967). By permission of The University of Chicago Press. Copyright 1967 by The University of Chicago.



**FIM DA AULA 3**